

УДК 533.6.011.8

ТЕПЛООБМЕН В ЛОБОВОЙ ТОЧКЕ ЗАТУПЛЕННОГО ТЕЛА,
ОБТЕКАЕМОГО СВЕРХЗВУКОВЫМ РАЗРЕЖЕННЫМ ПОТОКОМ
АЗОТНО-ВОДОРОДНОЙ СМЕСИ

*А. А. Бочкарев, В. А. Косинов,
В. Г. Приходько, А. К. Ребров*

(Новосибирск)

Представлены результаты измерений коэффициента восстановления температуры и удельного теплового потока в лобовой точке сферически затупленного тела, помещенного в сверхзвуковую струю смеси азота с водородом низкой плотности. Эксперименты проводились в режиме течения, переходном от сплошного к свободномолекулярному. Результаты измерений показывают, что имеют место завышенные значения коэффициента восстановления и теплового потока в смеси по сравнению с аналогичными измерениями в чистых газах.

Для градиентных потоков газовых смесей характерна неравновесность течения по поступательным степеням свободы, проявляющаяся, в частности, в изменении локального состава смеси вследствие диффузационного разделения компонент. Роль диффузационных процессов особенно значительна в разреженных газах, так как скорость диффузии в этом случае может быть сравнимой со скоростью потока. Для смеси, состоящей из легких и тяжелых частиц, основным разделяющим фактором является бародиффузия. При сверхзвуковом обтекании затупленных тел диффузия влияет на структуру головной ударной волны и сжатого слоя перед телом. Зона с повышенным давлением (лобовая область) оказывается обогащенной тяжелыми частицами вследствие градиента давления вдоль линий тока и вследствие кривизны линий тока вблизи точки торможения. Концентрационная диффузия и термодиффузия уменьшают эффект разделения. С лобовой поверхностью затупленного тела взаимодействует поступательно неравновесный газ. Если компоненты смеси обладают одинаковой статической температурой и поступательной скоростью в набегающем потоке, то увеличение концентрации тяжелой компоненты в зоне торможения приводит к увеличению полной энталпии потока в этой зоне по сравнению с невозмущенной областью. Следствием этого являются особенности теплообмена тел, обтекаемых смесью разреженных газов.

Адиабатическая температура торможения в смеси газов с различной молекулярной массой была измерена в [1]. Большинство этих измерений проведены в сверхзвуковой струе смеси аргона и гелия. Измеренные температуры восстановления в лобовой точке затупленного тела оказались значительно выше температуры торможения и выше предельного значения для свободномолекулярного обтекания тел чистым газом. Состав и температура на линии торможения исследовались в [2].

Цель данной работы — выяснение характерных отличий теплообмена при обтекании тел смесью газов в условиях, когда происходит разделение компонент, от теплообмена в чистом газе. В экспериментах измерялись температура восстановления и удельный тепловой поток в лобовой точке сферически затупленного тела при различных начальных концентрациях и давлениях торможения смеси и чистого газа.

Измерения проводились на аэродинамической трубе низкой плотности, описанной в [3]. Температура восстановления T_r измерялась с по-

мощью адиабатического датчика температуры торможения на сферической модели диаметром 8 м.м., аналогичной описанной в [1]. Температура в лобовой точке измерялась никром-константановой термопарой, отделенной от медной сферы теплоизоляционной вставкой. Для ликвидации утечек тепла за счет теплопроводности сфера подогревалась охранным нагревателем; температура ее поверхности контролировалась второй никром-константановой термопарой, горячий спай которой размещался в непосредственной близости от лобовой точки. За температуру торможения принималась температура при одинаковых показаниях обеих термопар.

Для измерения удельных тепловых потоков в лобовой точке применялась нестационарная методика, основанная на решении второй краевой задачи для уравнения теплопроводности

$$(1) \quad \frac{\partial T}{\partial \tau} = a^2 \frac{\partial^2 T}{\partial x^2} \quad (x \geq 0, \tau \geq 0)$$

для полупространства.

Здесь T — температура, τ — время, x — координата, a — коэффициент температуропроводности. Границные условия

$$T(x, 0) = T_w, \quad T(0, \tau) = \varphi(\tau)$$

где $\varphi(\tau)$ — температура поверхности сферы в критической точке, измеряемая пленочным термометром сопротивления. Методика таких измерений описана в [4]. Термометром служила платиновая пленка толщиной ≈ 0.5 мкм и площадью 0.5×1.5 м.м.². Диаметр сферы, изготовленной из молибденового стекла ЗС-5, составлял 32 м.м. Контактами служили платиновые проволочки диаметром 0.3 м.м., впаянные в стекло и зашлифованные заподлицо с поверхностью. Перед сферой устанавливалась заслонка, перекрывавшая поток. В определенный момент времени, принятый за начальный, заслонка открывалась и производилась запись показаний термометра сопротивления. Эта запись расшифровывалась с помощью предварительно проведенных градуировок датчика и полученные значения температуры в лобовой точке $\varphi(\tau)$ подставлялись в формулу для расчета удельного теплового потока [4]

$$(2) \quad q = \frac{\lambda}{V \pi a \Delta \tau} \left[2t_n + \sum_{i=1}^{n-1} t_{n-i} (2\sqrt{i-1} - 4\sqrt{i} + 2\sqrt{i+1}) \right]$$

которая является приближенным арифметическим выражением точного решения уравнения (1), получающегося в виде квадратур (в формуле (2) n — количество интервалов, на которые разбита экспериментальная зависимость $\varphi(\tau)$, $\Delta\tau$ — интервал разбиения, λ и a — коэффициенты теплопроводности и температуропроводности стекла)

$$t_n = \varphi_n(\varphi) - T_w$$

Датчики размещались на оси сверхзвуковой струи, истекающей из звукового сопла. Диаметр критического сечения сопла $d = 2.25$ и 9 м.м. в экспериментах по измерению T_r и q соответственно, расстояние между соплом и сферой $l = 3d$.

При обработке результатов параметры набегающего потока, отмеченные индексом ∞ , рассчитывались по условиям изэнтропического расширения [5]. За число Маха набегающего потока M_∞ принималось значение с учетом величины отхода ударной волны [6]. Для условий экспериментов $M_\infty = 4.53$.

На фиг. 1 представлены опытные данные значений коэффициента восстановления $r = (T_r - T_\infty) / (T_0 - T_\infty)$ и отношения удельных тепловых потоков в лобовой точке $Q = q_\Sigma / q_\Sigma^\circ$, измеренных и найденных для

газовой смеси с эквивалентной теплопроводностью, но не подверженной диффузионному разделению. Индекс Σ означает смесь газов. Данные относятся к постоянным значениям числа Рейнольдса по параметрам торможения и диаметру датчика ($Re_0 \approx 372$). Температура торможения поддерживалась комнатной. Измерение температуры проведено при давлении в форкамере $p_0 \approx 1.1$ мм рт. ст. При измерении тепловых потоков (в диапазоне $f_0 = 0 \div 1$, где f_0 — мольная доля тяжелой компоненты) давление в форкамере изменялось от 2.5 до 1.32 мм рт. ст. Нижний индекс нуль относится к величинам в форкамере, w — к модели.

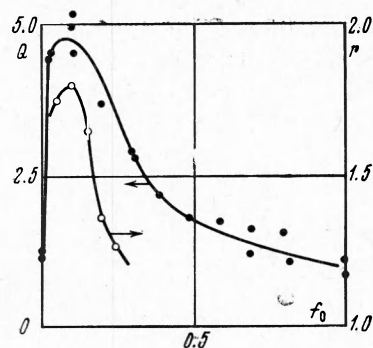
Значения r лежат существенно выше предельного значения $r = 1.17$ для двухатомных газов в свободномолекулярных условиях. Наибольшая величина $r = 1.77$ получена при $f_0 \approx 0.07$. Измеренная зависимость $q_\Sigma (f_0)$ аналогична зависимости $r (f_0)$. Предположим, что при обтекании тела чистыми азотом N_2 и водородом H_2 и их смесью число Прандтля остается постоянным. Так как в данных экспериментах по измерению q_Σ остаются неизменными величины отношения удельных теплоемкостей γ , M и Re , то в предположении отсутствия бародиффузионных процессов должно выполняться соотношение

$$q_{N_2} / \lambda_{N_2} = q_{H_2} / \lambda_{H_2} = q_\Sigma^0 / \lambda_\Sigma$$

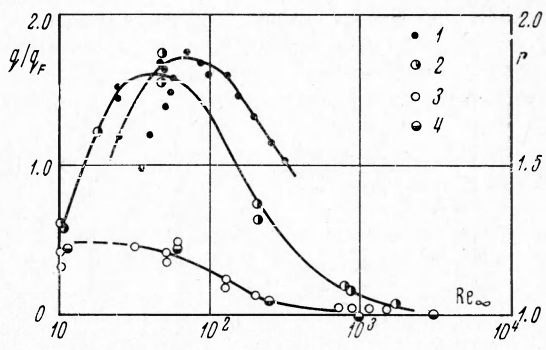
В отсутствие диффузионных процессов тепловой поток в смеси должен быть $q_\Sigma^0 = q_{N_2} \lambda_{N_2} / \lambda_{N_2}$. Зависимость $Q = q_\Sigma / q_\Sigma^0$ на фиг. 1 показывает тепловой эффект диффузионного разделения. Максимумы r и Q имеют место при одинаковых значениях f_0 .

На фиг. 2 показаны результаты измерений коэффициента восстановления и теплового потока в смеси с $f_0 = 0.1$ (точки 1, 2) и теплового потока в чистых азоте N_2 и водороде H_2 (точки 3, 4), полученные при изменении давления торможения в виде зависимостей $r (Re_\infty)$ и $q / q_F (Re_\infty)$. Число Рейнольдса Re_∞ рассчитывалось по диаметру датчиков, q_F — удельный тепловой поток для свободномолекулярных условий, вычисленный по [7] для коэффициента аккомодации $\alpha = 1$, $M_\infty = 4.53$, $T_w / T_0 = 1$.

Результаты измерений для азота и водорода показывают плавное уменьшение q / q_F при увеличении Re_∞ . Это связано с уменьшением коэффициента восстановления от предельного значения $r = 1.17$ в свободномолекулярных условиях до значения $r \approx 0.9$ в сплошном режиме. Измерения коэффициента восстановления для смеси показывают наличие максимума при $Re_\infty \approx 75$. Такому изменению r соответствует кривая с максимумом для q / q_F в смеси. Сравнение кривых q / q_F для смеси и чистых компонент позволяет определить диапазон чисел Рейнольдса $10 < Re_\infty < 2000$, в котором диффузионное разделение существенно влияет на теп-



Фиг. 1



Фиг. 2

лообмен. Сближение точек 2, 3, 4 при $Re_\infty < 10$ соответствует значению $q / q_F = 0.5$ для свободномолекулярных условий. Эта величина указывает, по-видимому, что величина реального коэффициента термической аккомодации молекул на поверхности модели $\alpha \approx 0.5$.

Для сравнения с данными [4] вычисленные по формуле

$$St = q_\Sigma / \rho_{\infty\Sigma} U_{\infty\Sigma} c_{\rho\Sigma} (T_{r\Sigma} - T_w)$$

значения числа Стентона St для $f_0 = 0.1$ (ρ , U , c_p — плотность, скорость, удельная теплоемкость при постоянном давлении) показаны на фиг. 3 в зависимости от $k^2 = Re_\infty / M_\infty^2 \gamma c$, где

$$c = \mu T_\infty / \mu_\infty T,$$

$$T = (T_0 + T_w) / 2$$

μ — коэффициент динамической вязкости.

Штриховкой нанесена область экспериментальных точек, представленных в [4] для $T_w / T_0 = 0.1 \div 0.43$, $M_\infty = 3 \div 24$, и сплошная кривая — расчетная [8] (теория тонкого ударного слоя) для $\alpha = 1$, $T_w / T_0 = 0$, $M_\infty = \infty$. Прерывистой линией на оси ординат слева указано значение числа St для свободномолекулярных условий при $M_\infty = 4.53$, $T_w / T_0 = 1$, $\alpha = 0.5$.

Учитывая погрешность измерений, из фиг. 3 можно прийти к выводу, что нет принципиального различия в механизме теплообмена тела с чистыми газами и их смесями при наличии перед телом зоны потока со значительной поступательной неравновесностью. Наблюдаемый в экспериментах тепловой эффект бародиффузационного разделения смеси учитывается числом Стентона, если в качестве определяющей температуры использовать температуру восстановления.

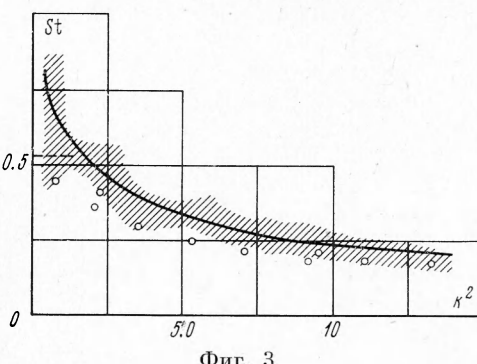
Удовлетворительное согласование сравниваемых данных подтверждает вывод [4] о независимости St от T_w / T_0 для $k^2 = 1 \div 10$ при $T_w / T_0 = 1$.

Авторы благодарны И. Ф. Заварзиной и П. Г. Итину за помощь в работе.

Поступила 20 II 1973

ЛИТЕРАТУРА

1. Maise G., Fenn J. B. Recovery factor measurements in gas mixtures. *Phys. Fluids*, 1964, vol. 7, No. 7.
2. Бочкарев А. А., Косинов В. А., Приходько В. Г., Ребров А. К. Обтекание затупленного тела сверхзвуковой струей азота и азот-водородной смеси низкой плотности. ПМТФ, 1972, № 6.
3. Бочкарев А. А., Косинов В. А., Приходько В. Г., Ребров А. К. Структура сверхзвуковой струи аргон — гелиевой смеси в вакууме. ПМТФ, 1970, № 5.
4. Заварзина И. Ф. Экспериментальные исследования локальных тепловых потоков на сфере и сферическом призуплении осесимметричного тела. Изв. АН СССР, МЖГ, 1970, № 4.
5. Жогов В. А., Хомутский А. А. Атлас сверхзвуковых течений свободнорасширяющегося идеального газа, истекающего из осесимметричного сопла. М., ЦАГИ, 1970.
6. Russel D. A. Density disturbance ahead of a sphere in rarefied supersonic flow. *Phys. Fluids*, 1968, vol. 11, No. 8.
7. Хейз У. Д., Пробстин Р. Ф. Теория гиперзвуковых течений. М., Изд-во иностр. лит., 1962.
8. Cheng H. K. Hypersonic shock layer theory of the stagnation region at low Reynolds number. Proc. Heat Trans. and Fluid Mech. Inst. Stanford Univ. Press. Stanford, Calif., 1961, 161—175.



Фиг. 3